

# Supergénne minerály zo štôlne Juraj, Hodruša-Hámre (Slovenská republika)

**Supergene minerals from the Juraj adit, Hodruša-Hámre (Slovak Republic)**

MARTIN ŠTEVKO<sup>1)\*</sup> A RADANA MALÍKOVÁ<sup>2)</sup>

<sup>1)</sup>Katedra mineralogie a petrologie, Prírodovedecká fakulta, Univerzita Komenského, Mlynská dolina G,  
842 15 Bratislava, Slovensko; \*e-mail: stevko@fns.uniba.sk

<sup>2)</sup>Mineralogicko-petrologické oddelení, Národní muzeum, Cirkusová 1740, 193 00 Praha 9 - Horní Počernice,  
Česká republika

ŠTEVKO M., MALÍKOVÁ R. (2014) Supergénne minerály zo štôlne Juraj, Hodruša-Hámre (Slovenská republika). *Bull. mineral.-petrolog. Odd. Nár. Muz. (Praha)* 22, 2, 261-268. ISSN 1211-0329.

## Abstract

An interesting supergene mineral association was identified at the abandoned Juraj adit near Hodruša-Hámre village, Štiavnické vrchy Mts., Slovak Republic. It is represented by allophane, anglesite, brochantite, calcite, cerussite, dundasite, gypsum, hydrozincite, linarite, malachite, posnjakite and zincowoodwardite. Anglesite occurs as well developed, colourless, tabular to prismatic crystals up to 3 mm in vugs of weathered galena-rich gangue. It is orthorhombic, space group *Pnma*, the unit-cell parameters refined from X-ray powder diffraction data are:  $a = 8.447(1)$ ,  $b = 5.3863(10)$ ,  $c = 6.9563(9)$  Å and  $V = 317.63(9)$  Å<sup>3</sup>. Cerussite is the most common supergene mineral and it forms colourless to white tabular, prismatic or acicular crystals up to 9 mm in size, which are often twinned and are associated together with dundasite, malachite and linarite in the cavities of gangue or mineralized rocks. The refined unit-cell parameters of cerussite from the powder X-ray diffraction data (for the orthorhombic space group *Pmcn*) are  $a = 5.174(1)$ ,  $b = 8.478(2)$ ,  $c = 6.135(1)$  Å with  $V = 269.1(1)$  Å<sup>3</sup>. Dundasite forms white or pale-blue, radial to spherical aggregates up to 1 mm, which are composed of well formed acicular crystals and cover areas up to 4 × 1.5 cm in cavities of ore gangue. Its refined unit-cell parameters from the powder X-ray diffraction data (for the orthorhombic space group *Pbnm*) are  $a = 9.071(2)$ ,  $b = 16.394(5)$ ,  $c = 5.618(2)$  Å and  $V = 835.4(5)$  Å<sup>3</sup>. Hydrozincite occurs as compact, white, up to 1 cm thick crusts or botryoidal aggregates on the adit walls together with calcite and zincowoodwardite. It is monoclinic, space group *C2/m*, the unit-cell parameters refined from X-ray powder diffraction data are:  $a = 13.63(2)$ ,  $b = 6.319(8)$ ,  $c = 5.397(9)$  Å,  $\beta = 95.9(3)^\circ$  and  $V = 462(1)$  Å<sup>3</sup>. Linarite often forms well developed, bright blue, tabular to prismatic crystals up to 4 mm in size, which are often grouped to the radial aggregates and crystalline crusts in cavities and fractures of ore gangue (together with cerussite, dundasite and malachite) or on the walls of adit (associated with brochantite, gypsum, posnjakite and zincowoodwardite). Its refined unit-cell parameters from the powder X-ray diffraction data (for the monoclinic space group *P2<sub>1</sub>/m*) are  $a = 9.691(3)$ ,  $b = 5.650(2)$ ,  $c = 4.686(2)$  Å,  $\beta = 102.68(2)^\circ$  and  $V = 250.3(1)$  Å<sup>3</sup>. Rare posnjakite occurs as pale blue, acicular crystals up to 1 mm, which were observed on the adit walls associated together with brochantite, linarite and zincowoodwardite. The refined unit-cell parameters of posnjakite from the powder X-ray diffraction data (for the monoclinic space group *Pm*) are  $a = 10.569(14)$ ,  $b = 6.349(4)$ ,  $c = 7.857(9)$  Å,  $\beta = 117.94(7)^\circ$  and  $V = 465.7(9)$  Å<sup>3</sup>. Zincowoodwardite was observed exclusively on the walls of adit as an white-blue to pale-blue crusts with botryoidal surface, which covers areas up to 5 × 4 cm. Associated minerals include brochantite, calcite, gypsum, hydrozincite, linarite and posnjakite. It is trigonal, space group *P-3*, the unit-cell parameters refined from X-ray powder diffraction data are:  $a = 3.057(9)$ ,  $c = 8.865(8)$  Å with  $V = 71.8(2)$  Å<sup>3</sup>. A newly described association of supergene minerals from the Juraj adit was formed as a sub-recent product of decomposition of primary sulfidic mineralization (mostly galena, sphalerite, chalcopyrite and pyrite) in the conditions of abandoned mine.

**Key words:** dundasite, linarite, posnjakite, zincowoodwardite, supergene mineralization, X-ray powder data, unit-cell parameters, Juraj adit, Hodruša-Hámre, Slovak Republic

Obdrženo: 17. 10. 2014; přijato: 18. 11. 2014

## Úvod

Vývoju supergénnych zón a hlavne štúdiu supergénnych minerálov bola doteraz na epitemálnych rudných žilách v oblasti Hodruše-Hámrov (ako aj v oblasti Banskej Štiavnice) venovaná len malá pozornosť. Prevažná väčšina informácií o supergénnych mineráloch v tejto oblasti pochádza hlavne z 19. storočia (napr. Zipser 1817; Zepharovich 1859; Tóth 1882). V rámci systematického

mineralogického výskumu supergénnych minerálov, ktorý autor (M. Š.) realizuje, boli na viacerých epitemálnych žilách v okolí Hodruše-Hámrov a Banskej Štiavnice zistené pestré asociácie supergénnych minerálov, ktoré doteraz nebolí v tejto oblasti známe. Tento príspevok je venovaný mineralogickej charakteristike supergénnych minerálnych fáz na jednom z týchto výskytov: v štôlni Juraj pri Hodruši-Hámroch.

## Lokalizácia a geologicko-ložisková situácia výskytu

Štôlňa Juraj (obr. 1) a menšie banské práce v jej okolí sa nachádzajú v doline na južnom svahu kóty Hadová priamo nad ostrou zákrutou asfaltovej cesty z Hodruše-Hámrov do Banskej Štiavnice, približne 2.3 km na V od historického centra Hodruše-Hámrov. GPS súradnice haldy štôlne Juraj sú:  $48^{\circ} 28' 02.33''$  severnej šírky,  $18^{\circ} 50' 57.44''$  východnej dĺžky, nadmorská výška 585 m. n. m. Vzorky so supergénou mineralizáciou boli odobraté priamo zo štôlne Juraj, ktorá je aj v súčasnosti prístupná.

O banských práchach a charaktere zrudnenia na tejto lokalite existuje len malé množstvo údajov. Štôlňa Juraj



Obr. 1 Ústie štôlne Juraj. Foto M. Števko, jún 2014.

(Georg) a krátka prieskumná štôlňa v jej blízkosti sú vyobrazené už na mape banského pola Rabenstein od Veroniho z roku 1786 (viz Kaňa 2013). Banské pole Juraj (Georg) so štôlňou Juraj je neskôr zobrazené aj na mapách banských polí hornohodrušského banského závodu od Antona Wetzsteina a Hermana Buhla z roku 1843 (viz Kaňa et al. 2011). Konkrétnie údaje o ťažbe v tomto banskom poli sa nezachovali a prístupné banské diela majú malý rozsah a skôr prieskumný charakter. Epitermálna polymetalická mineralizácia v štôlni Juraj nie je reprezentovaná jednou žilnou štruktúrou ale má skôr impregnačný až žilníkový charakter a je vyvinutá v prostredí andezitových porfýrov resp. kremito-dioritových porfýrov intruzívneho komplexu Banisko, ktoré sú lokálne intenzívne argilitizované (Onačila et al. 1993; Konečný et al. 1998). Medzi hlavné rudné minerály v žilnej výplni patrí galenit, sfalerit, pyrit a chalkopyrit. Zriedkavejší je spekularit (varieta hematitu) a polybazit, ktorý tvorí mikroskopické inkluzie v galenite (Onačila et al. 1993).

## Metodika

Štúdium povrchovej morfológie vzoriek a fotodokumentácia supergénnych minerálov boli realizované v dopadajúcim svetle na optickom stereomikroskope Zeiss Stemi 2000-C (P. Škácha, Hornické muzeum Příbram, ČR).

Röntgenové práškové difrakčné údaje supergénnych minerálov boli získané pomocou práškového difraktometra Bruker D8 Advance (Katedra mineralogie a petrologie, PriF UK, Bratislava, SR) s polovodičovým pozíčne citlivým detektorom LynxEye s využitím CuK $\alpha$  žiarenia za nasledovných podmienok: napätie 40 kV, prúd 40 mA, krok 0.01° 20, čas 3 s/krok. Pripravené práškové prepráty boli pre zníženie pozadia záznamov nanesené v acetónovej suspenzii na nosiče zhotovené z monokryštálu Si. Získané difrakčné údaje boli vyhodnotené pomocou softvéru Bruker DIFFRAC<sup>plus</sup> EVA a pozície jednotlivých difrakčných maxímov boli spracované profilovou funkciou Pseudo-Voigt a spresnené pomocou profilového fitovania v programe HighScore Plus. Mriežkové parametre jednotlivých študovaných fáz boli spresnené metódou najmenších štvorcov pomocou programu Celref (Laugier, Bochu 2011).

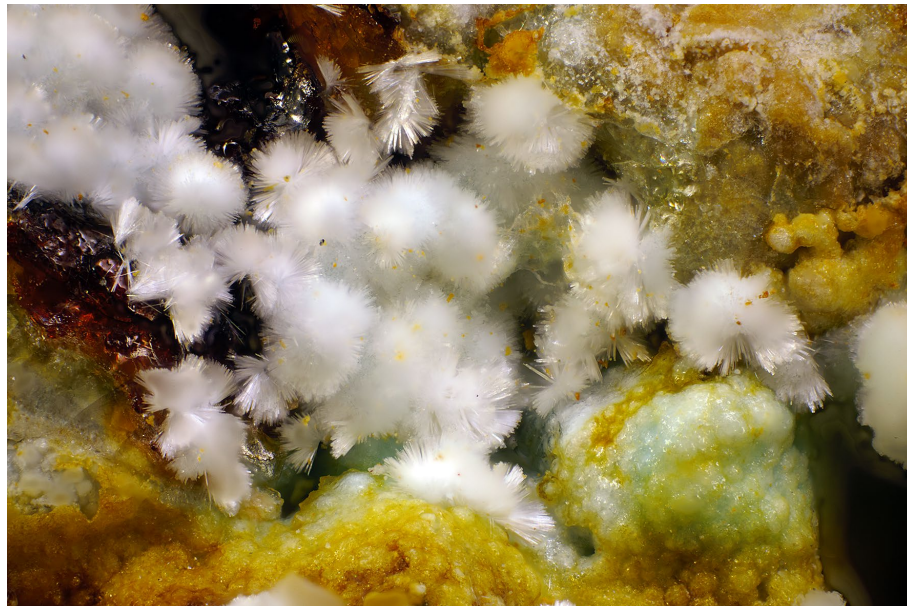


Obr. 2 Hrubotabuľkovitý kryštál anglesitu. Šírka záberu je 4 mm, foto P. Škácha.





Obr. 3 Zrast kryštálov ceruzitu. Šírka záberu je 2.5 mm, foto P. Škácha.



Obr. 4 Biele radiálne až polguľovité agregáty dundasitu. Šírka záberu je 4 mm, foto P. Škácha.

**Tabuľka 5** Röntgenové práškové údaje dundasitu z Hodruše-Hámrov

<i>h</i>	<i>k</i>	<i>l</i>	$d_{obs}$	$I_{obs}$	$d_{calc}$	<i>h</i>	<i>k</i>	<i>l</i>	$d_{obs}$	$I_{obs}$	$d_{calc}$	<i>h</i>	<i>k</i>	<i>l</i>	$d_{obs}$	$I_{obs}$	$d_{calc}$
0	2	0	8.227	1	8.197	0	0	2	2.812	1	2.809	0	6	2	1.9565	<1	1.9585
1	1	0	7.975	100	7.937	0	6	0	2.735	5	2.732	3	3	2	1.9262	1	1.9258
1	2	0	6.096	13	6.081	2	4	1	2.672	2	2.674	4	4	1	1.8712	<1	1.8709
2	0	0	4.546	8	4.535	1	1	2	2.653	2	2.648	3	7	0	1.8516	1	1.8515
2	1	0	4.381	4	4.371	3	3	1	2.3935	2	2.3934	5	1	0	1.8013	<1	1.8031
0	4	0	4.105	9	4.098	2	6	0	2.3407	2	2.3403	5	2	0	1.7712	2	1.7712
2	2	0	3.975	3	3.968	4	0	0	2.2687	3	2.2676	4	6	0	1.7443	2	1.7449
1	4	0	3.743	1	3.735	3	5	0	2.2225	2	2.2227	0	4	3	1.7028	1	1.7032
1	3	1	3.602	9	3.596	4	2	0	2.1852	1	2.1855	4	4	2	1.6215	<1	1.6206
2	3	0	3.490	2	3.490	1	5	2	2.0732	1	2.0764	5	5	0	1.5869	<1	1.5873
2	2	1	3.244	6	3.241	0	8	0	2.0491	1	2.0492	0	6	3	1.5434	<1	1.5446
1	5	0	3.087	20	3.083	4	2	1	2.0349	1	2.0368	3	9	1	1.5029	14	1.5033
2	4	0	3.044	8	3.041	3	2	2	1.9987	<1	1.9959	4	8	1	1.4667	<1	1.4676
3	1	0	2.977	5	2.973	4	4	0	1.9827	<1	1.9842						

**Dundasit** bol identifikovaný len na niekoľkých vzorkách. V dutinách zvetranej žiloviny vytvára do 1 mm veľké radiálne až polguľovité agregáty zložené z jednotlivých ihlicovitých kryštálov (obr. 4), ktoré zriedkavo pokrývajú plochy až  $4 \times 1.5$  cm. Farba dundasitu je biela až svetlomodrá a má charakteristický hodvábny až perleťový lesk. Dundasit sa vyskytuje v asociácii spolu s ceruzitom a linaritom, lokálne narastá na amorfné svetlomodré sklovité aggregáty, ktoré na základe EDS analýzy zodpovedajú alofánu.

**Tabuľka 6** Mriežkové parametre dundasitu z Hodruše-Hámrov (indexované v rombickej priestorovej grupe  $Pbnm$ ) a ich porovnanie s publikovanými údajmi

	táto práca	Cocco et al. (1972)
$a$ [Å]	9.071(2)	9.08(1)
$b$ [Å]	16.394(5)	16.37(2)
$c$ [Å]	5.618(2)	5.62(1)
$V$ [Å <sup>3</sup> ]	835.4(5)	835.35

**Tabuľka 7** Röntgenové práškové údaje hydrozinkitu z Hodruše-Hámrov

$h$	$k$	$l$	$d_{obs}$	$I_{obs}$	$d_{calc}$	$h$	$k$	$l$	$d_{obs}$	$I_{obs}$	$d_{calc}$	$h$	$k$	$l$	$d_{obs}$	$I_{obs}$	$d_{calc}$
2	0	0	6.755	100	6.777	0	0	2	2.673	39	2.684	-6	2	1	1.7830	3	1.7852
0	0	1	5.313	5	5.368	-2	2	1	2.568	3	2.574	7	1	1	1.7025	5	1.6993
-1	1	1	4.004	3	4.005	5	1	0	2.4848	33	2.4914	-4	0	3	1.6581	1	1.6543
3	1	0	3.665	11	3.675	4	2	0	2.3172	9	2.3109	-6	2	2	1.5806	12	1.5794
-3	1	1	3.153	35	3.159	3	1	2	2.0904	7	2.0857	-2	2	3	1.5497	24	1.5480
2	2	0	2.866	28	2.864	0	2	2	2.0413	5	2.0455	2	4	0	1.5405	17	1.5386
0	2	1	2.716	81	2.723	2	2	2	1.9139	3	1.9170	-8	2	1	1.4722	2	1.4736

Röntgenové práškové údaje dundasitu zo štôlne Ju-raj (tab. 5) sú v dobrej zhode s teoretickým záznamom, ktorý bol vypočítaný zo štruktúrnych dát, ktoré publikovali Cocco et al. (1972). Spresnené mriežkové parametre študovaného dundasitu sú v tabuľke 6 porovnané s publikovanými údajmi.

**Hydrozinkit** vytvára kriedovo biele maximálne až 1 cm hrubé povlaky, ktoré a nátekovité agregáty na stenách štôlne spolu s kalcitom a zinkowoodwarditom. Kôry a agregáty hydrozinkitu majú kryptokryštalickú vnútornú stavbu a lastúrovity lom.

Hydrozinkit bol identifikovaný pomocou rtg. práškovej difrakcie (tab. 7) a jeho spresnené mriežkové parametre sú v tabuľke 8 porovnané s publikovanými údajmi.

**Linarit** sa v rámci študovanej lokality vyskytuje v dvoch asociáciach. Prvý typ reprezentujú pukliny a drúzové dutiny v zvetranej žilovine, kde sa linarit hojne vyskytuje v podobe dokonale vyvinutých sýtomodrých maximálne 4 mm veľkých tabuľkovitých až prizmatických kryštálov so skleným leskom (obr. 5). Jednotlivé kryštály linaritu sú často zoskupené do radiálnych aggregátorov a kryštalických kôr v asociácii spolu s ceruzitom a dundasitom. Druhý typ výskytu linaritu predstavujú do 1 mm veľké kryštály a kryštalické kôry, ktoré sa vyskytujú spolu s brochantitom, malachitom, sadrovcom, posnjakitom a zinkowoodwarditom priamo na stenách štôlne.



Obr. 5 Skupina prizmatických kryštálov linaritu. Šírka záberu je 3.2 mm, foto P. Škácha.

**Tabuľka 8** Mriežkové parametre hydrozinkitu z Hodruše-Hámrov (indexované v monoklinickej priestorovej grupe  $C2/m$ ) a ich porovnanie s publikovanými údajmi

	táto práca	Ghose (1964)
$a$ [Å]	13.63(2)	13.62
$b$ [Å]	6.319(8)	6.3
$c$ [Å]	5.397(9)	5.42
$\beta$ [°]	95.9(3)	95.83
$V$ [Å <sup>3</sup> ]	462(1)	462.66

**Tabuľka 9** Röntgenové práškové údaje linaritu z Hodruše-Hámrov

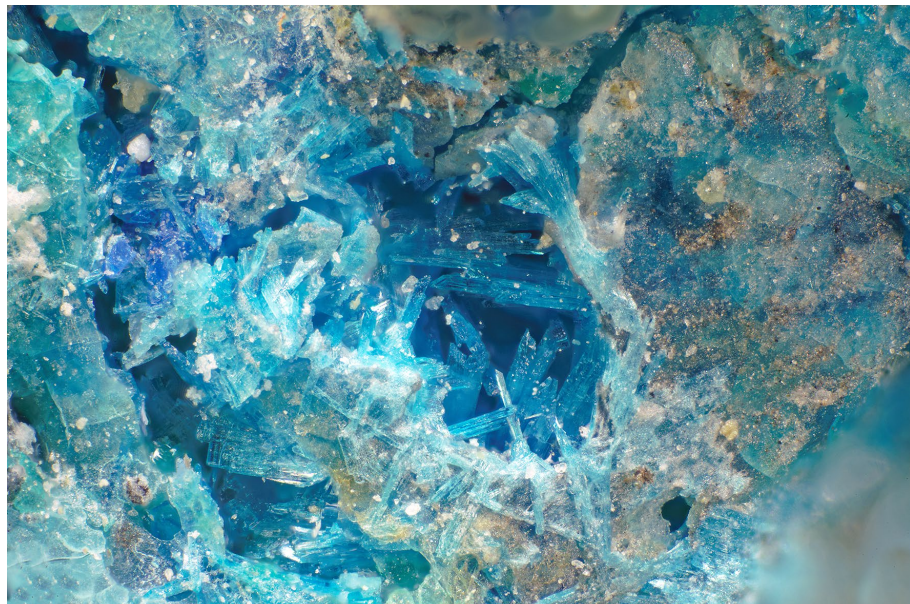
<i>h</i>	<i>k</i>	<i>l</i>	$d_{obs}$	$I_{obs}$	$d_{calc}$	<i>h</i>	<i>k</i>	<i>l</i>	$d_{obs}$	$I_{obs}$	$d_{calc}$	<i>h</i>	<i>k</i>	<i>l</i>	$d_{obs}$	$I_{obs}$	$d_{calc}$
1	0	0	9.429	34	9.454	-4	0	1	2.3155	14	2.3172	0	2	2	1.7759	1	1.7768
1	1	0	4.843	9	4.850	1	2	1	2.2654	2	2.2673	-2	2	2	1.7656	2	1.7653
2	0	0	4.721	4	4.727	-2	0	2	2.2598	13	2.2613	2	3	0	1.7482	<1	1.7495
0	0	1	4.558	2	4.571	4	1	0	2.1795	6	2.1804	-1	3	1	1.7397	<1	1.7385
-1	0	1	4.517	77	4.523	-1	1	2	2.1631	4	2.1635	-2	3	1	1.6789	<1	1.6801
1	0	1	3.799	1	3.801	-4	1	1	2.1425	1	2.1438	-5	0	2	1.6447	2	1.6449
-2	0	1	3.715	1	3.719	1	0	2	2.1164	9	2.1179	5	0	1	1.6255	2	1.6257
2	1	0	3.622	8	3.625	-2	1	2	2.1018	2	2.0994	3	1	2	1.6130	<1	1.6129
0	1	1	3.550	14	3.554	-3	0	2	2.0794	<1	2.0798	4	2	1	1.5951	<1	1.5955
3	0	0	3.149	100	3.151	2	2	1	2.0482	1	2.0487	-5	1	2	1.5798	<1	1.5794
-2	1	1	3.104	9	3.106	-3	2	1	2.0258	<1	2.0269	5	2	0	1.5749	8	1.5713
2	0	1	2.974	11	2.976	1	1	2	1.9803	<1	1.9832	-1	0	3	1.5590	<1	1.5590
-3	0	1	2.908	1	2.910	-3	1	2	1.9505	1	1.9517	-4	2	2	1.5532	<1	1.5532
0	2	0	2.823	2	2.825	4	0	1	1.9324	<1	1.9335	-6	1	1	1.5412	<1	1.5411
3	1	0	2.750	1	2.752	-5	0	1	1.8999	<1	1.9008	0	0	3	1.5235	3	1.5237
1	2	0	2.712	80	2.707	-4	0	2	1.8579	<1	1.8595	6	1	0	1.5199	<1	1.5177
-3	1	1	2.586	7	2.587	1	3	0	1.8456	<1	1.8469	-2	1	3	1.5015	15	1.4976
2	2	0	2.4229	1	2.4248	4	1	1	1.8289	3	1.8293	4	0	2	1.4882	2	1.4879
0	2	1	2.4015	2	2.4030	4	2	0	1.8120	3	1.8127	3	3	1	1.4738	<1	1.4728
-1	2	1	2.3951	1	2.3959	-5	1	1	1.8009	4	1.8015	-1	3	2	1.4676	<1	1.4676
4	0	0	2.3626	3	2.3635	-4	2	1	1.7927	3	1.7915	0	3	2	1.4546	<1	1.4534
-1	0	2	2.3405	4	2.3421												

**Tabuľka 10** Mriežkové parametre linaritu z Hodruše-Hámrov (indexované v monoklinickej priestorovej grupe  $P2_1/m$ ) a ich porovnanie s publikovanými údajmi

	táto práca	Effenberger (1987)
$a$ [Å]	9.691(3)	9.701(2)
$b$ [Å]	5.650(2)	5.650(2)
$c$ [Å]	4.686(2)	4.690(2)
$\beta$ [°]	102.68(2)	102.65(2)
$V$ [Å <sup>3</sup> ]	250.3(1)	250.82

Röntgenové práškové údaje linaritu zo študovanej lokality (tab. 9) sú v dobrej zhode s údajmi publikovanými pre túto minerálnu fázu ako aj s teoretickým záznamom, ktorý bol vypočítaný zo štruktúrnych dát, ktoré publikovala Effenberger (1987). Spresnené mriežkové parametre linaritu zo štôlne Juraj sú v tabuľke 10 porovnané s publikovanými údajmi.

**Posnjakit** bol identifikovaný len v jednom prípade na stene Juraj štôlne. Vytvára svetlomodré až 1 mm veľké ihlicovité kryštály (obr. 6), ktoré sú zoskupené do kryštaličkého agregátu v asociácii spolu s brochantitom, linaritom a zinkewoodwarditom.



Obr. 6 Agregáty svetlomodrých kryštálov posnjakitu. Šírka záberu je 2.5 mm, foto P. Škácha.

**Tabuľka 11** Röntgenové práškové údaje posnjakitu z Hodruše-Hámrov

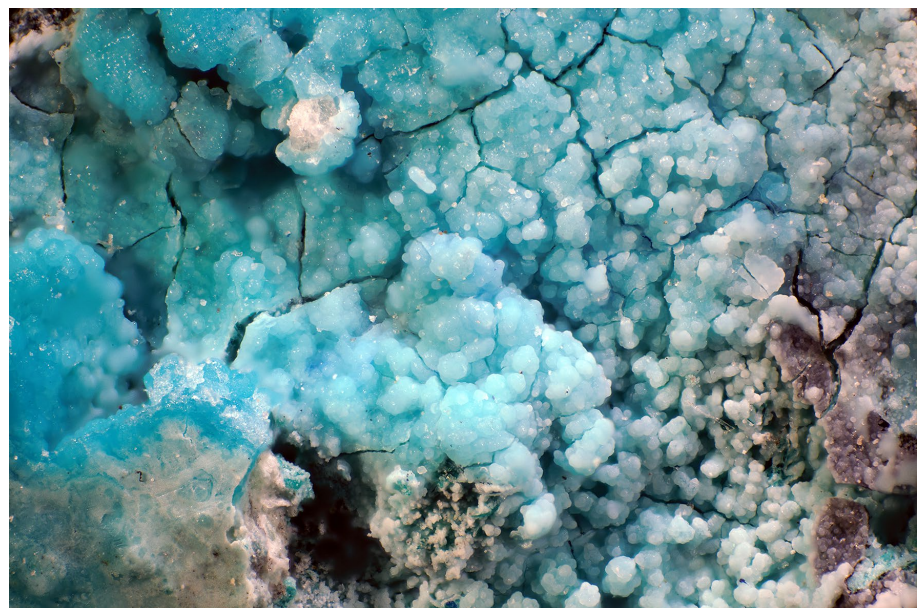
$h$	$k$	$l$	$d_{obs}$	$I_{obs}$	$d_{calc}$	$h$	$k$	$l$	$d_{obs}$	$I_{obs}$	$d_{calc}$	$h$	$k$	$l$	$d_{obs}$	$I_{obs}$	$d_{calc}$
0	0	1	6.909	100	6.925	1	1	2	2.603	<1	2.597	-5	2	1	1.7323	<1	1.7290
0	1	0	6.346	2	6.349	-4	1	1	2.4170	<1	2.4136	1	2	3	1.7105	<1	1.7126
1	1	0	5.238	<1	5.250	4	0	0	2.3338	<1	2.3341	-6	1	3	1.6600	<1	1.6568
-1	1	1	4.828	<1	4.846	0	0	3	2.3089	1	2.3136	-4	2	4	1.6140	<1	1.6147
1	1	1	3.733	<1	3.740	3	1	1	2.2816	<1	2.2809	-6	0	4	1.5835	<1	1.5851
0	0	2	3.461	22	3.470	-3	2	2	2.2422	<1	2.2431	-4	0	5	1.5592	<1	1.5556
-1	1	2	3.316	1	3.326	-4	1	3	2.1262	<1	2.1241	-2	0	5	1.5443	<1	1.5426
-2	1	2	3.227	<1	3.229	-4	2	1	2.0164	<1	2.0174	-6	1	4	1.5378	<1	1.5379
0	2	0	3.179	1	3.174	-2	0	4	1.9485	<1	1.9525	-2	4	1	1.5182	<1	1.5167
-1	2	1	2.916	1	2.923	-4	0	4	1.8727	<1	1.8755	-6	2	3	1.5080	<1	1.5097
2	1	1	2.875	<1	2.872	-2	1	4	1.8655	<1	1.8662	2	4	0	1.5040	<1	1.5027
3	1	0	2.790	<1	2.794	5	1	0	1.7933	<1	1.7914	-6	2	1	1.4954	<1	1.4970
-2	2	1	2.695	1	2.702	0	0	4	1.7388	<1	1.7352						

Posnjakit bol potvrdený pomocou rtg. práškovej difraccie (tab. 11), pričom získané údaje sú v dobrej zhode s teoretickým práškovým záznamom, ktorý bol vypočítaný zo štruktúrnych dát, ktoré publikovali Mellini a Merlino (1979). Jeho spresnené mriežkové parametre sú v tabuľke 12 porovnané s publikovanými údajmi.

**Zinkewoodwardit** sa vyskytuje vzácné. Vytvára svetlomodré až bielomodré do 4 mm hrubé povlaky a kôry s nepravidelným až hroznovitým povrchom (obr. 7), ktoré pokrývajú plochy do  $5 \times 4$  cm na stenách štôlne. V asociácii spolu so zinkewoodwarditom bol pozorovaný brochantit, hydrozinkit, kalcit, linalit, posnjakit a sadrovec.

**Tabuľka 12** Mriežkové parametre posnjakitu z Hodruše-Hámrov (indexované v monoklinickej priestorovej grupe  $Pm$ ) a ich porovnanie s publikovanými údajmi

	táto práca	Mellini, Merlino (1979)
$a$ [Å]	10.569(14)	10.578 (5)
$b$ [Å]	6.349(4)	6.345(3)
$c$ [Å]	7.857(9)	7.863(3)
$\beta$ [°]	117.94(7)	117.98(5)
$V$ [Å <sup>3</sup> ]	465.7(9)	466.06



**Obr. 7** Svetlomodrá hroznovitá kôra zinkewoodwarditu.  
Šírka záberu je 4 mm, foto P. Škácha.

**Tabuľka 13** Röntgenové práškové údaje zinkewoodwarditu z Hodruše-Hámrov

$h$	$k$	$l$	$d_{obs}$	$I_{obs}$	$d_{calc}$	$h$	$k$	$l$	$d_{obs}$	$I_{obs}$	$d_{calc}$	$h$	$k$	$l$	$d_{obs}$	$I_{obs}$	$d_{calc}$
0	0	1	8.727	100	8.806	0	1	0	2.638	9	2.648	0	1	3	1.9721	2	1.9719
0	0	2	4.406	31	4.432	0	1	1	2.5306	7	2.5370	1	1	0	1.5276	1	1.5287
0	0	3	2.974	<1	2.955	0	1	2	2.2701	4	2.2730	1	1	1	1.5098	3	1.5064

**Tabuľka 14** Mriežkové parametre zinkewoodwarditu z Hodruše-Hámrov (indexované v trigonálnej priesťorovej grupe P-3) a ich porovnanie s publikovanými údajmi

	táto práca	Witzke, Raade (2000)
a [Å]	3.057(9)	3.063(2)
c [Å]	8.865(8)	8.91(1)
V [Å <sup>3</sup> ]	71.8(2)	72.39

Röntgenové práškové údaje zinkewoodwarditu zo štôlne Juraj (tab. 13) sú v dobrej zhode s teoretickým záznamom, ktorý bol vypočítaný zo štruktúrnych dát publikovaných Witzkem a Raadem (2000). Spresnené mriežkové parametre študovaného zinkewoodwarditu sú v tabuľke 14 porovnané s publikovanými údajmi.

## Záver

Študovaná asociácia supergénnych minerálov zo štôlne Juraj v Hodruši-Hámroch reprezentovaná alofánom, anglesitom, brochantitom, ceruzitom, dundasitom, hydrozinkitom, kalcitom, linalitom, malachitom, posnjakitom, sadrovcom a zinkewoodwarditom predstavuje produkt sub-recentnej dekompozície primárnych sulfidických minerálov (galenit, sfalerit, chalkopyrit, pyrit) v podmienkach opusteného banského diela. Predpoklad sub-recentného vzniku tejto supergénnej asociácie podporuje najmä forma výskytu supergénny fáz priamo na stenách štôlne (brochantit, hydrozinkit, kalcit, linalit, malachit, posnjakit, sadrovec, zinkewoodwardit) prípadne prítomnosť supergénnych minerálov v puklinách a dutinách zvetranej žiloviny (alofán, anglesit, ceruzit, dundasit, linalit, malachit), kde je ich výskyt limitovaný vždy na zónu maximálne 10 cm od povrchu steny chodby a vo väčšej hĺbke sa vyskytuje len primárna sulfidická mineralizácia bez prejavov supergénnej alterácie. Výskyt dundasitu a zinkewoodwarditu v štôlnej Juraj predstavuje prvý nález týchto minerálnych fáz na území Slovenskej republiky.

## Poděkovanie

Autori dăkujú P. Škáchovi za vyhotovenie fotografií minerálov. Táto práca bola podporovaná Agentúrou na podporu výskumu a vývoja na základe zmluvy č. APVV-0375-12 a vznikla za finančnej podpory Ministerstva kultúry ČR v rámci inštitucionálneho financovania dlhodobého koncepcného rozvoja výskumnej organizácie Národné múzeum (DKRVO 2014/02, 00023272).

## Literatúra

- Cocco G., Fanfani L., Nunzi A., Zanazzi P. F. (1972) The crystal structure of dundasite. *Mineral. Mag.* 38, 564-569.
- Downs R. T. (2006) The RRUFF Project: an integrated study of the chemistry, crystallography, Raman and infrared spectroscopy of minerals. *Program and Abstracts of the 19<sup>th</sup> General Meeting of the International Mineralogical Association in Kobe, Japan*, O03-13.
- Effenberger H. (1987) Crystal structure and chemical formula of schmiederite,  $Pb_2Cu_2(OH)_4(SeO_4)$ . with a comparison to linarite  $PbCu(OH)_2(SO_4)$ . *Miner. Petrol.* 36, 3-12.
- Ghose S. (1964) The crystal structure of hydrozincite,  $Zn_5(OH)_6(CO_3)_2$ . *Acta Crystallogr.* 17, 1051-1057.
- Chevrier G., Giester G., Heger G., Jarosch D., Wildner M., Zemann J. (1992) Neutron single-crystal refinement of cerussite,  $PbCO_3$ , and comparison with other aragonite-type carbonates. *Z. Kristallogr.* 199, 67-74.
- Kaňa R. (2013) Hodrušské hlbiny-Podzemný svet baníkov. 1-189, *Banskoštiavnicko-hodrušský banícky spolok v Banskej Štiavnici, Banská Štiavnica*.
- Kaňa R., Čelko M., Mrákava F. (2011) Hodruša v zemi baníkov. 1-191, *Banskoštiavnicko-hodrušský banícky spolok v Banskej Štiavnici, Banská Štiavnica*.
- Konečný V., Lexa J., Halouzka R., Dublan L., Šimon L., Stolár M., Nagy A., Polák M., Vozár J., Havrla M., Pristaš J. (1998) Geologická mapa Štiavnických vrchov a Pohronského Inovca. GS SR, Bratislava.
- Laugier J., Bochu B. (2011) LMGP-Suite of Programs for the Interpretation of X-ray Experiments. <http://www ccp14.ac.uk/tutorial/lmpg>.
- Mellini M., Merlini S. (1979) Posnjakite:  $\text{[Cu}_4(\text{OH})_6(\text{H}_2\text{O})\text{O}]$  octahedral sheets and its structure. *Z. Kristallogr.* 149, 249-257.
- Onačila D., Rojkovičová L., Žáková E., Repčok I., Eliáš K., Kalinaj M. (1993) Epitermálna žilná mineralizácia hodrušského rudného pola-čiastková záverečná správa. MS, archív Geofond, Bratislava, sv. 78747.
- Tóth M. (1882) Magyarország ásványai különös tekintettel termőhelyeik megállapítására. 1-509, *Hunyadi Mátyás, Budapest*.
- Witzke T., Raade G. (2000) Zincwoodwardite  $[\text{Zn}_{1-x}\text{Al}_x(\text{OH})_2][(\text{SO}_4)_{x/2}(\text{H}_2\text{O})_n]$ , a new mineral of hydrotalcite group. *N. Jb. Mineral. Mh.* 455-465.
- Zepharovich V. (1859) Mineralogisches Lexicon für das Kaiserthum Österreich. Band I. 1-627, *Wilhelm Braumüller, Wien*.
- Zipser Ch. A. (1817) Versuch eines topographisch-mineralogischen Handbuches von Ungern. 1-440, *Carl Friedrich Wigand, Oedenburg*.